

مجله علوم آماری، بهار و تابستان ۱۳۹۵

جلد ۱۰، شماره ۱، ص ۴۵-۶۵

DOI: 10.7508/jss.2016.01.003

شبیه‌سازی توزیع‌های چوله‌نرمال بسته و چوله‌تی بسته برای مدل معکوس سایسمیک بیزی

معصومه بخشی شجاعی، امید کریمی

گروه آمار، دانشگاه سمنان

تاریخ دریافت: ۱۳۹۴/۲/۲۰ تاریخ آخرین بازنگری: ۱۳۹۳/۴/۲۰

چکیده: مدل‌بندی داده‌های فضایی چوله اغلب با استفاده از میدان تصادفی چوله گاوی صورت می‌پذیرد. مساله اصلی این است که شبیه‌سازی از این میدان تصادفی برای بعضی مقادیر پارامترها و بعدهای بالا خیلی زمانبر و حتی در برخی حالت‌ها ناممکن و نیازمند استفاده از روش‌های تقریبی است. یکی از شاخه‌های آمار فضایی که اغلب در تعیین ذخایر زیرزمینی همچون نفت و گاز مورد استفاده قرار می‌گیرد، تحلیل داده‌های سایسمیک توسط مدل معکوس است. مدل معکوس گاوی بیزی معمولاً در معکوس سایسمیک مورد استفاده قرار می‌گیرد که از لحاظ تحلیلی و محاسباتی به راحتی برای بعدهای بالا قابل انجام است. اما در عمل با متغیرهایی مواجه می‌شویم که نامتقارن و چوله هستند، مدل‌بندی این نوع داده‌ها با استفاده از توزیع‌های چوله صورت می‌گیرد. در تحلیل بیزی مدل معکوس چوله گاوی بسته نیز یکی از مشکلات مهم تولید نمونه از توزیع چوله‌نرمال بسته است. در این مقاله یک الگوریتم کارآمد برای تولید نمونه از توزیع چوله‌نرمال بسته با بعد بالا ارائه می‌شود. همچنین توزیع چوله‌تی بسته معرفی می‌شود که شامل دم‌های

آدرس الکترونیک مسئول مقاله: امید کریمی، omid.karimi@semnan.ac.ir

کد موضوع بنای ریاضی (۲۰۱۰): 62H11, 62F15, 68U20

سنگین در تابع چگالی است و یک الگوریتم شبیه‌سازی برای تولید نمونه از این توزیع نیز بیان می‌گردد. در نهایت بحث و نتیجه‌گیری ارائه می‌شود.

واژه‌های کلیدی: توزیع چوله‌نرمال بسته، توزیع چوله‌تی بسته، مدل معکوس بیزی، داده‌های سایسمیک.

۱ مقدمه

اخیرا در نظریه‌های آمار فضایی از توزیع چوله نرمال^۱ (SN) برای مدل‌بندی داده‌های نامنفی با توزیعی نامتقارن استفاده می‌شود. توزیع چوله نرمال چند متغیره توسط آزالینی و داواله^۲ (۱۹۹۶) معرفی گردید. کلاس جدیدی از توزیع‌ها تحت عنوان چوله نرمال بسته^۳ (CSN) توسط دامینگوس و همکاران (۲۰۰۳) معرفی شد که اکثر توزیع‌های چوله نرمال معرفی شده را در بر می‌گیرد. آارد و ناویو (۲۰۰۵) نحوه شبیه‌سازی یک میدان تصادفی چوله گاوی بسته^۴ (CSG) را برای داده‌های فضایی ارائه کردند. در برخی مقالات (به عنوان مثال: آارد و ناویو، ۲۰۰۵ و کریمی و محمدزاده، ۲۰۱۱) عبارت گاوی را به جای نرمال همراه با میدان تصادفی به کار برده‌اند. میدان تصادفی CSG یعنی هر تحقق متناهی از این میدان دارای توزیع CSN چندمتغیره باشد. کریمی و محمدزاده (۲۰۱۱) و (۲۰۱۲)، با استفاده از یک میدان تصادفی CSG به تحلیل داده‌های فضایی چوله پرداخته‌اند. غلامی و همکاران (۱۳۹۱) برآورد بیزی پارامترهای توزیع چوله نرمال را مورد بررسی قرار دادند. با توجه به اینکه توزیع CSN از توزیع چوله نرمال کلی‌تر و دارای خواص بسته بودن تحت تبدیلات خطی و شرطی کردن است، مطالعه یک میدان تصادفی CSG می‌تواند شرایط ساده‌تری برای پیشگویی فضایی دقیق‌تری را فراهم نماید. یکی از مشکلات مهم در این خانواده از توزیع‌ها تولید نمونه برای بعدهای بالا است که کریمی و همکاران (۲۰۱۰) به آن اشاره کرده‌اند و از تقریب همسایگی استفاده

^۱ Skew Normal

^۲ Closed Skew Normal

^۳ Closed Skew Gaussian

نمودند.

در این مقاله، سه الگوریتم شبیه‌سازی که براساس صورت ساختاری توزیع CSN است بیان و مورد مقایسه قرار می‌گیرند و بهترین روش که توسط آورسن و امره (۲۰۱۰) براساس یک روش تکراری ارائه شده برای مدل معکوس بیزی روی داده‌های فضایی سایسمیک به کار گرفته می‌شود. کریمی و همکاران (۲۰۱۰) مدل معکوس را برای خاصیت‌های مواد الاستیکی^۴ که توسط سه مولفه سرعت موج اولیه^۵ (v_p)، سرعت موج ثانویه^۶ (v_s) و چگالی^۷ (ρ) آن تشریح می‌شوند، مورد بررسی قرار دادند. نتایج نشان می‌دهد که توزیع دارای دم سنگین‌تری از توزیع CSN است. از این رو توزیع چوله‌تی بسته^۸ (CST) است، می‌تواند مفید باشد که تحت تبدیلات خطی و شرطی کردن نیز بسته است.

در بخش ۲، کاربردهای آن در مدل معکوس بیزی بیان می‌شود. سپس سه الگوریتم شبیه‌سازی از این توزیع در بخش ۳ ارائه می‌گردد و در بخش ۴، مدل معکوس بیزی برای داده‌های سایسمیک بیان و کاربرد آن‌ها روی توزیع‌های چوله در بخش ۵ ارائه می‌شود. مطالعه شبیه‌سازی روی مدل معکوس CSG در بخش ۶ و توزیع CST و کاربردهای آن در بخش ۷ بیان می‌شود. در بخش ۸ مدل معکوس CST بیزی مورد مطالعه قرار می‌گیرد و شبیه‌سازی از آن در بخش ۹ بیان و توزیع‌ها مورد مقایسه قرار می‌گیرند و در نهایت بحث و نتیجه‌گیری در بخش ۱۰ ارائه می‌گردد.

۲ توزیع چوله نرمال بسته

توزیع CSN چند متغیره، حالت کلی بسط داده شده توزیع نرمالی است که مولفه چولگی هم به آن اضافه شده است. فرض کنید تابع چگالی احتمال توام (t, v)

^۴ Elastic material properties

^۵ P-Wave velocity

^۶ S-Wave velocity

^۷ Density

^۸ Closed Skew T

توزیع نرمال چندمتغیره به صورت:

$$\begin{bmatrix} t \\ v \end{bmatrix} \sim N_{n+q} \left(\begin{bmatrix} \boldsymbol{\mu}_t \\ \boldsymbol{\mu}_v \end{bmatrix}, \begin{bmatrix} \Sigma_t & \Gamma_{tv} \\ \Gamma_{vt} & \Sigma_v \end{bmatrix} \right) \quad (1)$$

باشد. متغیر تصادفی $x = [t|v \geq 0]$ دارای توزیع CSN و تابع چگالی احتمال آن به صورت زیر به دست می‌آید:

$$\begin{aligned} f(x) &= p(t|v \geq 0) = \frac{p(v \geq 0|t)f(t)}{p(v \geq 0)} \\ &= [1 - \Phi_q(\mathbf{o}; \boldsymbol{\mu}_v, \Sigma_v)]^{-1} [1 - \Phi_q(\mathbf{o}; \boldsymbol{\mu}_{v|t}, \Sigma_{v|t})] \phi_n(t; \boldsymbol{\mu}_t, \Sigma_t) \end{aligned}$$

که در آن $\Phi_n(\mathbf{o}; \boldsymbol{\mu}, \Sigma)$ و $\Sigma_{v|t} = \Sigma_v - \Gamma_{vt}\Sigma_t^{-1}\Gamma_{tv}$ ، $\boldsymbol{\mu}_{v|t} = \boldsymbol{\mu}_v + \Gamma_{vt}\Sigma_t^{-1}(t - \boldsymbol{\mu}_t)$ (و $\boldsymbol{\mu}_v$ به ترتیب تابع توزیع و تابع چگالی نرمال با میانگین $\boldsymbol{\mu}$ و ماتریس واریانس کوواریانس Σ است. نهایتاً صورت توزیع CSN و چگالی آن به صورت

$$\mathbf{x} \sim CSN_{n,q}(\boldsymbol{\mu}, \Sigma, \Gamma, \boldsymbol{\nu}, \Delta),$$

$$f(\mathbf{x}) = [\Phi_q(\mathbf{o}; \boldsymbol{\nu}, \Delta + \Gamma\Sigma\Gamma')]^{-1} \Phi_q(\Gamma(\mathbf{x} - \boldsymbol{\mu}); \boldsymbol{\nu}, \Delta) \phi_n(\mathbf{x}; \boldsymbol{\mu}, \Sigma),$$

بیان می‌شود، که در آن $\boldsymbol{\mu} = \boldsymbol{\mu}_v$ ، $\Gamma = \Gamma_{vt}\Sigma_t^{-1}$ ، $\Sigma = \Sigma_t$ و $\boldsymbol{\nu} = -\boldsymbol{\mu}_v$. $\Delta = \Sigma_v - \Gamma_{vt}\Sigma_t^{-1}\Gamma_{tv}$ و $\boldsymbol{\mu}_v$ پارامتر چولگی است. اگر $\Gamma = 0$ ، CSN به توزیع نرمال با پارامترهای $(\boldsymbol{\mu}, \Sigma)$ تبدیل می‌شود. برخی ویژگی‌های مطلوب توزیع CSN مربوط به مدل معکوس بیزی را دامینگوس و همکاران (۲۰۰۳) بیان کرده‌اند:

۱. ترکیب خطی روی متغیرهای تصادفی مستقل از توزیع CSN، نیز دارای توزیع CSN است: متغیر $\mathbf{y} = A\mathbf{x} + c$ و $A \in \mathbb{R}^{n \times \ell}$ ماتریس قطعی^۹ و $c \in \mathbb{R}^\ell$ برداری ℓ بعدی معلوم است. بنابراین

$$[\mathbf{y} = A\mathbf{x} + c] \sim CSN_{\ell,q}(\boldsymbol{\mu}_y, \Sigma_y, \Gamma_y, \boldsymbol{\nu}, \Delta_y)$$

$$\boldsymbol{\mu}_y = A\boldsymbol{\mu} + c, \quad \Sigma_y = A\Sigma A', \quad \Gamma_y = \Gamma\Sigma A'\Sigma_y^{-1},$$

$$\boldsymbol{\nu}_y = \boldsymbol{\nu}, \quad \Delta_y = \Delta + \Gamma\Sigma\Gamma' - \Gamma\Sigma A'\Sigma_y^{-1}A\Sigma\Gamma'.$$

^۹ Deterministic

۴۹. معموله بخشی شجاعی، امید کریمی

در نتیجه توزیع CSN تحت تبدیلات خطی بسته است.
۲. ترکیب دو متغیر تصادفی مستقل از CSN، توزیع CSN است. اگر x_1 و x_2 دو متغیر تصادفی از توزیع CSN به صورت

$$x_1 \sim CSN_{n_{x_1}, q_{x_1}}(\mu_{x_1}, \Sigma_{x_1}, \Gamma_{x_1}, \nu_{x_1}, \Delta_{x_1})$$

$$x_2 \sim CSN_{n_{x_2}, q_{x_2}}(\mu_{x_2}, \Sigma_{x_2}, \Gamma_{x_2}, \nu_{x_2}, \Delta_{x_2})$$

باشند. آن‌گاه

$$y = \begin{bmatrix} x_1 \\ x_2 \end{bmatrix} \sim CSN_{n, q}(\mu_y, \Sigma_y, \Gamma_y, \nu_y, \Delta_y)$$

$$n = n_{x_1} + n_{x_2}, \quad q = q_{x_1} + q_{x_2},$$

$$\mu_y = \begin{bmatrix} \mu_{x_1} \\ \mu_{x_2} \end{bmatrix}, \quad \Sigma_y = \begin{bmatrix} \Sigma_{x_1} & \circ \\ \circ & \Sigma_{x_2} \end{bmatrix}, \quad \Gamma_y = [\circ, \Gamma_{x_2}],$$

$$\nu_y = \begin{bmatrix} \nu_{x_1} \\ \nu_{x_2} \end{bmatrix}, \quad \Delta_y = \begin{bmatrix} \Delta_{x_1} & \circ \\ \circ & \Delta_{x_2} \end{bmatrix}.$$

۳. توزیع شرطی مولفه‌های متغیرهای تصادفی از توزیع CSN، نیز CSN هستند.
فرض کنید $(\mu, \Sigma, \Gamma, \nu, \Delta) \in R^{n-k}$ و $x_1 \in R^k$ $x \sim CSN_{n, q}(\mu, \Sigma, \Gamma, \nu, \Delta)$ زیربردارهایی از $x_2 \in R^{n-k}$ باشند. متناسب با این افرادها داریم:

$$\mu = \begin{bmatrix} \mu_1 \\ \mu_2 \end{bmatrix}, \quad \Sigma = \begin{bmatrix} \Sigma_{11} & \Sigma_{12} \\ \Sigma_{21} & \Sigma_{22} \end{bmatrix}, \quad \Gamma = [\Gamma_1, \Gamma_2].$$

آن‌گاه

$$[x_1 | x_2] \sim CSN_{k, q}(\mu_{1|2}, \Sigma_{1|2}, \Gamma_{1|2}, \nu_{1|2}, \Delta_{1|2})$$

که در آن

$$\mu_{1|2} = \mu_1 + \Sigma_{12} \Sigma_{22}^{-1} (x_2 - \mu_2), \quad \Sigma_{1|2} = \Sigma_{11} - \Sigma_{12} \Sigma_{22}^{-1} \Sigma_{21}$$

$$\Gamma_{1|2} = \Gamma_1, \quad \nu_{1|2} = \nu - (\Gamma_2 + \Gamma_1 \Sigma_{12} \Sigma_{22}^{-1} \Sigma_{21}) (x_2 - \mu_2), \quad \Delta_{1|2} = \Delta.$$

۳ الگوریتم‌های شبیه‌سازی از توزیع CSN

در این بخش سه الگوریتم شبیه‌سازی براساس ساختار توزیع CSN بیان و مورد مقایسه قرار می‌گیرند.

الف - الگوریتم شبیه‌سازی یک گامی (A): ساده‌ترین راه شبیه‌سازی از توزیع CSN می‌باشد. x از توزیع نرمال چندمتغیره (t, v) رابطه (1) تولید می‌شود، تا زمانی که $v \geq \mu_v$ برقرار شود. سپس x یک نمونه تصادفی از توزیع CSN است. این الگوریتم برای $\mu_v < \mu_u$ کارا نیست و بین عناصر v همبستگی منفی زیادی ایجاد می‌شود، زیرا تولید $v_i \geq 1, \dots, q$ به طور هم‌زمان بسیار نامحتمل است. زمانی که بعد بردار

ب- المگوریتم شبیه سازی دوگامی (B): نخست v را تا زمانی که $v \geq t$ است از توزیع $(v|v) \sim p(v)$ تولید می شود و سپس t را به شرط v تولید می کنیم که توزیع آن نرمال چندمتغیره با میانگین و واریانس زیر است:

$$E(t|v) = \mu + \Gamma_{tv} \Sigma_v^{-1} (v + \nu), \quad V(t|v) = \Sigma_t - \Gamma_{tv} \Sigma_v^{-1} \Gamma'_{tv}.$$

ج- الگوریتم شبیه‌سازی تکراری (C):

این الگوریتم کاراترین روشی است که بهوسیله الگوریتم رد و پذیرش (رابط، ۱۹۹۵) و روش نمونه‌گیری گیبز نمونه تولید می‌کند. همانند الگوریتم‌های پیشین نخست $0 \geq v_i$ سپس t تولید شود. اما به جای این‌که $v_i \geq 0$ ، $v_i = 1, \dots, q$ ، v_i به طور هم‌زمان برقرار باشد هر v_i به طور متواالی بهوسیله روش تکراری تولید می‌شود. $0 \geq v_i$ با استفاده از الگوریتم نمونه‌گیری رد و پذیرش از توزیع نرمال محدود شده تولید می‌شود. برای تولید w از $h(w)$ ، ابتدا یک توزیع پیشنهادی $g(w)$ شبیه $h(w)$ که شبیه‌سازی از آن آسان‌تر است، در نظر گرفته می‌شود، سپس یک w از $g(w)$ و u از $U(0, 1)$ طوری تولید می‌شود که w از $h(w)$ تحقق یابد، به طوری که w, u در رابطه $u \leq \frac{h(w)}{c \cdot g(w)}$ صدق کنند، که در آن c مقدار مثبت ثابتی است که به ازای هر w در رابطه $c \cdot g(w) > h(w)$ صدق می‌کند.

$$h(\nu; \mu_+, \sigma_+^\gamma, v_\circ) = \begin{cases} \frac{\exp\{-(v-\mu_+)^\gamma/\gamma\sigma_+^\gamma\}}{\sqrt{\gamma\pi}\sigma_+(\gamma-\Phi((v_\circ-\mu_+)/\sigma_+))} & v \geq v_\circ \\ 0 & v < v_\circ \end{cases}$$

است. وقتی $v \rightarrow \infty$ میل می‌کند، توزیع نرمال محدود شده فوق تبدیل به توزیع نرمال با میانگین μ_+ و واریانس σ_+^2 خواهد شد. رابرт (۱۹۹۵) نشان داد که انتخاب مناسب برای توزیع پیشنهادی (\cdot) و توزیع نمایی تبدیل یافته با چگالی

$$g(v; \alpha, v_0) = \begin{cases} \alpha \exp\{-\alpha(v - v_0)\} & v \geq v_0 \\ 0 & v < v_0 \end{cases}$$

است و دلیل آن مشابه بودن صورت چگالی و حوزه مقادیر آن با چگالی هدف (نرمال محدود شده) است. برای تولید نمونه از آن از رابطه $v = -\frac{1}{\alpha} \cdot \ln(u) + v_0$ استفاده می‌شود، که در آن u از توزیع یکنواخت $(0, 1)$ تولید می‌شود. رابرт (۱۹۹۵) برای توزیع نرمال محدود شده استاندارد $(0, \sigma_+^2 = \mu_+)$ مقدار ثابت c را با ماکسیمم کردن $\frac{h(v)}{g(v)}$ به صورت

$$c = \begin{cases} \frac{1}{\alpha \sqrt{2\pi(1-\Phi(v_0))}} e^{\alpha^2/2 - v_0 \alpha} & \alpha \geq v_0 \\ \frac{1}{\alpha \sqrt{2\pi(1-\Phi(v_0))}} e^{-(v_0)^2/2} & o.w \end{cases}$$

ارائه کرده است در آن صورت نسبت $h(v)/c \cdot g(v)$ را می‌توان به صورت

$$\frac{h(v)}{c \cdot g(v)} = \begin{cases} e^{-v^2/2 + \alpha(v - v_0) - \alpha^2/2 + \alpha v_0} & \alpha \geq v_0 \\ e^{-v^2/2 + \alpha(v - v_0) + (v_0)^2/2} & o.w \end{cases}$$

نوشت. در این حالت با قرار دادن $\alpha = \frac{v_0 + \sqrt{v_0^2 + 4}}{2}$ در توزیع نمایی تبدیل یافته احتمال پذیرش نمونه در الگوریتم رد و پذیرش تا حد زیادی افزایش می‌یابد (رابرت، ۱۹۹۵). در نتیجه الگوریتمی داریم که نمونه تصادفی از توزیع نرمال تک متغیره محدود شده را تولید می‌کند، اما می‌خواهیم از توزیع نرمال چندمتغیره محدود شده شبیه‌سازی کنیم و این مساله را می‌توان به وسیله الگوریتم نمونه‌گیری گیبز انجام داد، بنابراین $v^{(j)}$ به صورت:

$$v_1^{(j)} \sim N_1^+(E(v_1 | v_2^{(j-1)}, v_3^{(j-1)}, \dots, v_q^{(j-1)}), V(v_1 | v_2^{(j-1)}, v_3^{(j-1)}, \dots, v_q^{(j-1)}), v_{0,1})$$

$$v_2^{(j)} \sim N_1^+(E(v_2 | v_1^{(j)}, v_3^{(j-1)}, \dots, v_q^{(j-1)}), V(v_2 | v_1^{(j)}, v_3^{(j-1)}, \dots, v_q^{(j-1)}), v_{0,2})$$

\vdots

$$v_q^{(j)} \sim N_1^+(E(v_q | v_1^{(j)}, v_2^{(j)}, \dots, v_q^{(j-1)}), V(v_q | v_1^{(j)}, v_2^{(j)}, \dots, v_q^{(j-1)}), v_{0,q})$$

به روزرسانی می‌شوند، به‌طوری که $v_{\circ,i}$ نقطه برشی برای عناصر v_i است. بنابراین

الگوریتم C را می‌توان به صورت زیر اجرا نمود:

$$\text{الگوریتم } C: \text{شبیه‌سازی تکراری} \\ v = \max\{-\nu, v_{\circ}\} \text{ و } V \leftarrow \Sigma_v^{-1} . 1$$

۲. تا زمانی که همگرایی رخ دهد برای $i = 1, \dots, q$

$$\Sigma_{v,i \rightarrow i}^{-1} \leftarrow V_{\neg i \rightarrow i} - V_{i \rightarrow i} V'_{i \rightarrow i} / v_{ii} .$$

$$\mu_+ \leftarrow -\nu_i + \Sigma'_{v,i \rightarrow i} \Sigma_{v,\neg i \rightarrow i}^{-1} (v_{\neg i} + \nu_{\neg i}) .$$

$$\sigma_+^2 \leftarrow \Sigma_{v,ii}^2 - \Sigma'_{v,i \rightarrow i} \Sigma_{v,\neg i \rightarrow i}^{-1} \Sigma_{v,i \rightarrow i} .$$

$$v_{\circ} : v_{\circ} \leftarrow (v_{\circ,i} - \mu_+) / \sigma_+ .$$

$$\alpha \leftarrow v_{\circ} + (\sqrt{v_{\circ}^2 + 4}) / 2 .$$

را تا زمانی که شرایط زیر برقرار باشد

تولید کنید:

$$\begin{cases} u \leq \exp(-(v - \alpha)^2 / 2) & v_{\circ} < \alpha \\ u \leq \exp(-(v - \alpha)^2 / 2) \exp(-(v_{\circ} - \alpha)^2 / 2) & o.w \\ v_i \leftarrow \mu_+ + v \sigma_+ . \end{cases}$$

$$x \leftarrow t | v \sim N_n(\mu + \Gamma_{tv} \Sigma_v^{-1} (v + \nu), \Sigma_t - \Gamma_{tv} \Sigma_v^{-1} \Gamma'_{tv}) . 3$$

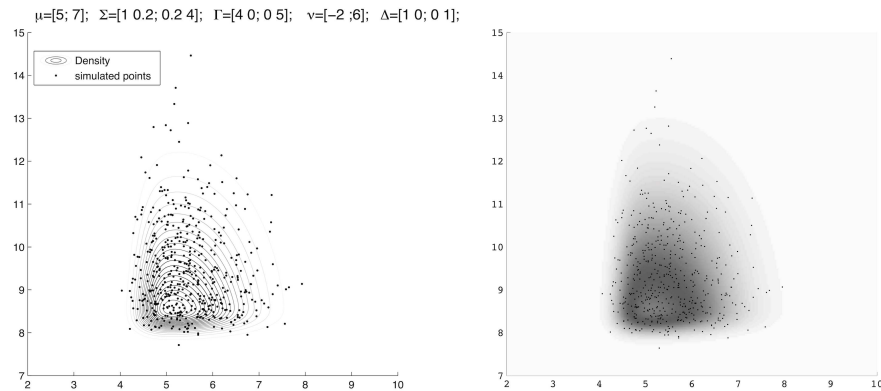
که در آن اندیس i یعنی این که سطر یا ستون i ام حذف گردد. به عنوان مثال

یعنی در ماتریس V سطر و ستون i am حذف گردد.

مثال ۱ (شبیه‌سازی): مقایسه زمان اجرای الگوریتم براساس پارامتر ν و بعدهای متفاوت آن با نرم افزار MATLAB با یک رایانه P4 CPU 2.5 GHz است. توزیع CSN با ابعاد ۲ با پارامترهای (۲) در شکل ۱ نمایش داده شده است:

$$\mu = \begin{bmatrix} 5 \\ 7 \end{bmatrix}, \Sigma = \begin{bmatrix} 1 & 0/2 \\ 0/2 & 4 \end{bmatrix}, \Gamma = \begin{bmatrix} 4 & 0 \\ 0 & 5 \end{bmatrix}, \nu = \begin{bmatrix} 5 \\ 5 \end{bmatrix}, \Delta = \begin{bmatrix} 1 & 0 \\ 0 & 1 \end{bmatrix} \quad (2)$$

که نمونه‌های شبیه‌سازی شده با الگوریتم C چگالی احتمال توزیع CSN را می‌پوشاند. مدت زمان اجرای سه الگوریتم A,B,C برای توزیع CSN با ابعاد ۲ و ۳، با پارامترهای مشخص شده در (۲) و (۳) و نهایی مثبت متفاوت، برای ۵۰۰۰ نمونه



شکل ۱: نمودارهای تراز و تصویر توزیع CSN به همراه نمونه‌های تولید شده برای مقادیر پارامتر در رابطه (۲)

تولید شده و

$$\mu = \begin{bmatrix} 5 \\ 7 \\ 9 \end{bmatrix}, \Sigma = \begin{bmatrix} 1 & 0 & 0 \\ 0 & 1 & 0 \\ 0 & 0 & 1 \end{bmatrix}, \Gamma = \begin{bmatrix} 4 & 0 & 0 \\ 0 & 5 & 0 \\ 0 & 0 & 6 \end{bmatrix}, \Delta = \begin{bmatrix} 1 & 0 & 0 \\ 0 & 1 & 0 \\ 0 & 0 & 1 \end{bmatrix} \quad (۲)$$

در جدول ۱ خلاصه شده‌اند. نتایج نشان می‌دهند هنگامی که پارامتر v مقدار مثبت

جدول ۱: مدت زمان اجرای الگوریتم‌ها بر حسب ثانیه

v	A	B	C
[5, 5]	4/9	4/5	1/1
[10, 15]	266	259	1/4
[12, 12]	582	538	1/3
[2, 2, 2]	4/9	4/7	1/1
[4, 4, 4]	21	20	1/1
[8, 8, 8]	1434	1298	1/2

بزرگ دارد، الگوریتم C که براساس یک روش تکراری و الگوریتم رد و پذیرش است از نظر زمان محاسباتی نسبت به دو الگوریتم دیگر از سرعت بالایی برخوردار است. همچنین با تغییر بعد از ۲ به ۳ زمان محاسبات برای های بزرگ مثبت

به صورت نمایی برای الگوریتم‌های A و B افزایش می‌یابد در حالی که برای الگوریتم C تفاوت چندانی نمی‌کند. الگوریتم‌های A و B برای بعدهای بالاتر کاملاً ناکارامد هستند.

۴ مدل معکوس بیزی

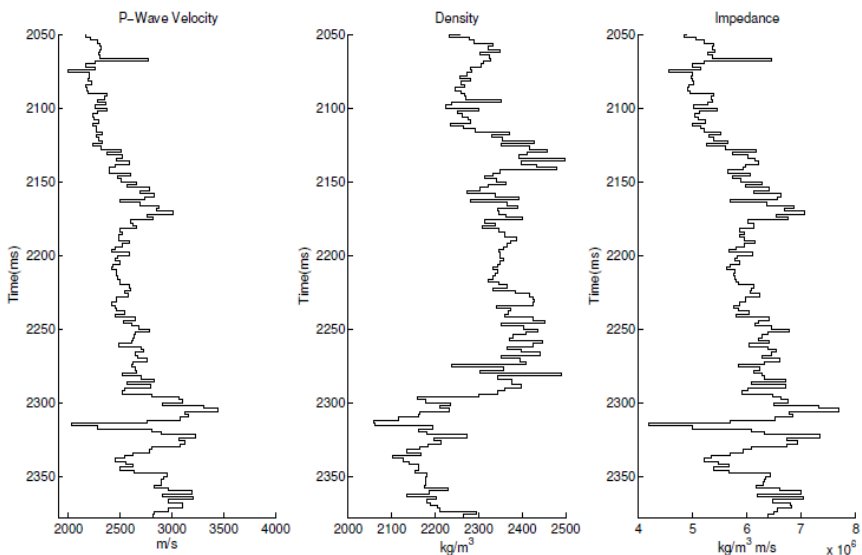
یکی از شاخه‌های آمار فضایی که اغلب در تعیین ذخایر زیرزمینی همچون نفت و گاز مورد استفاده قرار می‌گیرد، تحلیل داده‌های سایسمیک توسط مدل معکوس است، که نقش بسزایی در تحلیل شاخص‌های ذخائر زیرزمینی مانند سنگ‌شناسی -سیال^{۱۰} و ضریب تخلخل -نفوذپذیری^{۱۱} برای تفکیک نفت و گاز زیرزمینی دارد. چون این مدل یک مرحله میانی و حیاتی در فرآیند ارزیابی ذخائر زیرزمینی است، کیفیت آن تاثیر به سزایی در بهبود فرآیند دارد. داده‌های سایسمیک یا لرزه‌ای حاصل فرآیندی هستند که در آن یک موج سایسمیک از یک منبع مانند زمین‌لرزه، انفجار یا هر پدیده مشابه مرتعش می‌شود، سپس امواج انعکاس یافته از سطح مقابله توسط مجموعه‌ای از گیرندها ثبت می‌گردند. به عنوان مثال داده‌های سایسمیک دریایی معمولاً توسط آرایه‌ای از تفنگ‌های بادی تولید و از طریق یک یا چند نوار میکروفون‌های زیرآبی به صورت یدک‌کش جمع‌آوری می‌شوند. رابطه خطی پیچشی^{۱۲} بین داده‌های سایسمیک d و ضرایب انعکاسی r ^{۱۳} به صورت $d = Wr + e$ است، که در آن W ماتریس موجک، خطای مشاهده لرزه به صورت $e = We_1 + e_2$ است، که در آن e_1 و e_2 دارای توزیع گاوی مستقل با میانگین صفر و واریانس σ_e^2 هستند. بنابراین e موجک رنگی با میانگین صفر و واریانس $(WW' + I) \Sigma_e = \sigma_e^2$ است. از آنجا که توزیع CSN تعمیمی از توزیع گاوی است، e نیز دارای توزیع CSN به صورت $(\cdot, \cdot, \cdot, \cdot, \cdot)$ است، که در آن $CSN(\mathbf{o}, \Sigma_e, \cdot, \cdot, \cdot, \cdot)$ است، که در آن $q = 0$ است.

^{۱۰} Lithology-fluid

^{۱۱} Porosity-permeability

^{۱۲} Convolution

^{۱۳} Reflection coefficient



شکل ۲: سرعت موج، چگالی و امپدانس مشاهده شده

لایه z و $1 + j$ ، لایه‌هایی هستند که ضرایب انعکاس آنها متفاوت هستند. ضریب انعکاس برای لایه z را می‌توان به صورت $r_j = \frac{a_j^r}{a_j^i}$ بازنویسی کرد که در آن a_j^r دامنه منعکس شده از امواج و a_j^i دامنه موج حادثه بین j و $1 + j$ ، v_j سرعت موج p و ρ_j چگالی در لایه z است. سپس امپدانس $^{14} z$ در لایه j ، $v_j p_j$ است. پارامترهای v, p از چاه در میدان اوست اسلاپنر^{۱۵} است که برای محاسبه امپدانس z مورد استفاده قرار می‌گیرد و داده‌ها در نتیجه در شکل ۲ نشان داده می‌شود. فاصله عمق استفاده شده [۲۳۷۸, ۲۰۵۰] میلی ثانیه با فاصله نمونه برداری دو میلی ثانیه و $T = 165$ تعداد داده‌های بازتاب است. در ادامه مدل معکوس سایسمیک گاوی بیزی مورد بررسی قرار می‌گیرد که تعمیمی از معکوس گاوی بیزی است. معکوس بیزی معمولاً در معکوس سایسمیک مورد استفاده قرار می‌گیرد.

^{۱۴} Impedance

^{۱۵} Sleipner Ost

۵ مدل معکوس سایسمیک چوله گاوی بیزی

ارزیابی مدل برای استفاده در مسائل کاربردی از دشواری زیادی برخوردار است. بولاند و امره (۲۰۰۳) یک مدل معکوس سایسمیک گاوی بیزی ارائه کردند که به طور تحلیلی قابل ارزیابی است و از کارایی محاسباتی فوق العاده‌ای برخوردار است. چون داده‌های سایسمیک در این مدل، گاوی فرض شده است، آن را مدل معکوس سایسمیک گاوی بیزی نامیده‌اند و مدل به صورت $[d|x] = Hx + e$ است، که در آن $d \in R^{n_d}$ داده سایسمیک اندازه‌گیری شده با خطای $H, e \in R^{n_d}$ ماتریس متشکل از امواج و $x \in R^{n_x}$ لگاریتم طول موج است. هدف تعیین x به شرط d توسط معکوس بیزی می‌باشد. مدل پسین به صورت

$$x \sim CSN_{n_x, q_x}(\mu_x, \Sigma_x, \Gamma_x, \nu_x, \Delta_x)$$

$$e \sim CSN_{n_d, q_d}(\mathbf{0}, \Sigma_e, \Gamma_e, \mathbf{0}, I)$$

$$[d|x] \sim CSN_{n_d, q_d}(Hx, \Sigma_e, \Gamma_e, \mathbf{0}, I)$$

$$[x|d] \sim CSN_{n_x, q_x + q_d}(\mu_{x|d}, \Sigma_{x|d}, \Gamma_{x|d}, \nu_{x|d}, \Delta_{x|d})$$

به دست می‌آید، که در آن مقدار پارامترها توسط کریمی و همکاران (۲۰۰۹) به صورت زیر ارائه شده است:

$$\begin{aligned} \mu_{x|d} &= \mu_x + \Sigma_x H' [H\Sigma_x H' + \Sigma_e]^{-1} (d - H\mu_x) \\ \Sigma_{x|d} &= \Sigma_x - \Sigma_x H' [H\Sigma_x H' + \Sigma_e]^{-1} H\Sigma_x \\ \Gamma_{x|d} &= \left[\begin{bmatrix} \Gamma_x \Sigma_x \\ \mathbf{0} \end{bmatrix} - \begin{bmatrix} \Gamma_x \Sigma_x H' \\ \Gamma_e \Sigma_e \end{bmatrix} [H\Sigma_x H' + \Sigma_e]^{-1} H\Sigma_x \right] \Sigma_{x|d}^{-1} \\ \nu_{x|d} &= \begin{bmatrix} \nu_x \\ \mathbf{0} \end{bmatrix} - \begin{bmatrix} \Gamma_x \Sigma_x H' \\ \Gamma_e \Sigma_e \end{bmatrix} [H\Sigma_x H' + \Sigma_e]^{-1} (d - H\mu_x) \\ \Delta_{x|d} &= \begin{bmatrix} \Delta_x + \Gamma_x \Sigma_x \Gamma_x' & \mathbf{0} \\ \mathbf{0} & I + \Gamma_e \Sigma_e \Gamma_e' \end{bmatrix} - \begin{bmatrix} \Gamma_x \Sigma_x H' \\ \Gamma_e \Sigma_e \end{bmatrix} [H\Sigma_x H' + \Sigma_e]^{-1} \\ &\times \begin{bmatrix} \Gamma_x \Sigma_x H' \\ \Gamma_e \Sigma_e \end{bmatrix}' - \Gamma_{x|d} \Sigma_{x|d} \Gamma_{x|d}' \end{aligned}$$

این مدل حالت کلی تری از مدل معکوس بیزی گاوی بولاند و امره (۲۰۰۳) است. که با در نظر گرفتن $\Gamma_e = \Gamma_x = ۰$ در درستنمایی و $p(x|d)$ در مدل پیشین نتیجه می‌شود. مدل پیشین $p(x|d)$ برای پیش‌گویی x براساس داده d است. از هر سه آماره مکانی میانگین، میانه و مد برای پیش‌گویی x به شرط d می‌توان استفاده کرد، در این مقاله میانه برای استفاده انتخاب شد. بنابراین پیش‌گویی کننده به صورت $\widehat{x|d} = Med\{x|d\} = Q_{0.5}$ داده می‌شود. میانه مورد بحث توسط کریمی و همکاران (۲۰۰۹) قرار گرفت، که انتخاب خوبی است چون رابطه منطقی با تعریف فاصله پیش‌گویی $(1 - \alpha)$ به صورت $[Q_{\frac{\alpha}{2}} \{x|d\}, Q_{1-\frac{\alpha}{2}} \{x|d\}]$ دارد. همچنین میانه یک عملگر خطی نسبت به هرتابع یکنوا ($h(\cdot)$) است $h(Q_{0.5}\{x|d\}) = h(Q_{0.5}\{h(x|d)\})$. توجه کنید که میانه اغلب به عنوان پیش‌گویی کننده برای توزیع‌های چوله به جای میانگین استفاده می‌شود، چون میانگین ضعیف‌تر از میانه در توزیع‌های با دنباله‌های بلند عمل می‌کند.

۶ مطالعه شبیه‌سازی روی مدل معکوس سایسمیک CSG

در این بخش الگوریتم‌ها روی مدل معکوس سایسمیک CSG با پارامترهای مشخص مورد ارزیابی قرار می‌گیرد. فرض کنید $x \sim CSN_{2,3}(\mu_x, \sigma_x, \gamma_x, \nu_x, \delta_x)$ با پارامترهای $\mu_x = ۲$, $\sigma_x = ۰/۳$, $\nu_x = ۱$, $\delta_x = ۱$, $\gamma_x = \{-1/5, -1, 0, 1, 1/5\}$ در نظر گرفته شده است. همچنین برای مولفه خطاهای I , $\Gamma_e = ۱۰^{-۲}(HH' + I)$, $\Sigma_e = ۰$ تعریف شده است که در آن H ماتریس همانی است. تابع همبستگی نمایی $c(h) = \exp\{-\frac{h}{\delta}\}$ در نظر گرفته شده و ماتریس H در مدل درستنمایی به صورت:

$$H = \begin{bmatrix} ۰/۷۵ & ۰/۲۵ & ۰ \\ ۰/۲ & ۰/۶ & ۰/۲ \\ ۰ & ۰/۲۵ & ۰/۷۵ \end{bmatrix}$$

انتخاب شده است. ابتدا مقدار مرجع x از توزیع پیشین تولید و سپس مقدار d به صورت $d|x] = Hx + e$ تولید می‌شود. با استفاده از سه الگوریتم A, B, C برای A, B, C مدل پیشین ۵۰۰۰۰ نمونه تولید شد که به طور متوسط برای مقایسه الگوریتم‌ها از ۵۰ مجموعه داده مرجع استفاده شده است. با تغییر γ_x از $-1/5$ تا $1/5$ ، ماکسیمم تغییر

در زمان اجرای الگوریتم C فقط $1/0$ ثانیه است، اما برای الگوریتم‌های A و B به ترتیب 464 و 637 ثانیه است که این حاکی از مناسب بودن الگوریتم C است. زمان اجرای الگوریتم C با افزایش بعد افزایش می‌یابد. فرض کنید $T = n_x$ بنابراین $q = q_x + q_d = 2T$ در نتیجه بعد کلی $3T$ است. همه‌ی پارامترهای قبلی را با $\gamma_x = 3$ و ماتریس بسط داده شده زیر در نظر می‌گیریم:

$$H = \begin{bmatrix} 0/75 & 0/25 & 0 & \dots & \dots & 0 \\ 0/20 & 0/60 & 0/20 & 0 & \ddots & 0 \\ 0 & 0/20 & 0/60 & 0/20 & \ddots & 0 \\ \vdots & \ddots & \ddots & \ddots & \ddots & \vdots \\ 0 & \ddots & 0 & 0/20 & 0/60 & 0/20 \\ 0 & 0 & \dots & 0 & 0/25 & 0/75 \end{bmatrix} \in R^{T \times T}$$

بنابراین مدل پسین می‌تواند هر بعدی از T باشد. تغییر زمان اجرای الگوریتم برای مقادیر مختلف T که برای تولید 1000 تحقق از بیست مجموعه داده مرجع برای $\{20, 40, 60, \dots, 420\}$ استفاده شده است را مورد بررسی قرار می‌دهیم. مشاهده شده است که زمان اجرا سریع‌تر از خطی است که به عنوانتابع T در نظر گرفته شده است. این می‌تواند یک مشکل مهم در مجموعه‌های سه بعدی باشد. زمان اجرای معکوس کردن Σ به صورت $O(T \log T)$ خواهد شد و برای اجتناب از مشکلات برای T بزرگ، باید از تقریب برای معکوس کامل Σ استفاده کنیم.

۷ توزیع CST و کاربردهای آن

کریمی و همکاران (۲۰۱۰) مدل معکوس را برای خاصیت‌های مواد الاستیکی که توسط سه مولفه سرعت موج اولیه (v_p)، سرعت موج ثانویه (v_s) و چگالی (ρ) تشریح می‌شوند، مورد بررسی قرار دادند. نتایج نشان می‌دهد که توزیع سرعت موج اولیه v_p کمی دم سنگین‌تر از توزیع CSN است. از این رو توزیع CST می‌تواند برای مدل‌بندی چولگی با دم سنگین مفید باشد. برای دستیابی به چنین توزیعی نیاز است تا توزیع چندمتغیره تی تعریف شود. توزیع CST توزیعی است که چولگی به توزیع تی استیوونت اضافه شده است. فرض کنید تابع چگالی احتمال توانم توزیع

تحی چند متغیره به صورت:

$$\begin{bmatrix} t \\ v \end{bmatrix} \sim T \left(\begin{bmatrix} \mu_t \\ \mu_v \end{bmatrix}, \begin{bmatrix} \Omega_t & \Gamma_{tv} \\ \Gamma_{vt} & \Omega_v \end{bmatrix}, \eta \right)$$

باشد. چگالی توزیع به صورت

$$\tau_n(y; \mu, \Omega, \eta) = \frac{\Gamma(\frac{\eta+n}{\gamma})}{(\frac{n}{\gamma})(\eta, \pi)^{n/2}} |\Omega|^{-\frac{1}{2}} \left(1 + \frac{1}{\eta} (y - \mu)' \Omega^{-1} (y - \mu) \right)^{-\frac{\eta+n}{\gamma}}$$

است، که در آن $\Gamma(\cdot)$ تابع گاما است، $\mu \in R^n$ بردار مرکزی است، $\Omega \in R^{n \times n}$ ماتریسی معین مثبت و $\eta \in R^+$ درجه آزادی است. متغیر تصادفی $[t | v \geq 0] \sim CST$ دارای توزیع چگالی احتمال آن به صورت

$$\begin{aligned} f(x) &= p(t | v \geq 0) \\ &= \frac{p(v \geq 0 | t) p(t)}{p(v \geq 0)} \\ &= [1 - T_q(\mathbf{o}; \mu_v, \Omega_v)]^{-1} [1 - T_q(\mathbf{o}; \mu_{v|t}, \Omega_{v|t}, \eta + n)] \tau(t, \mu_t, \Omega_t, \eta) \end{aligned}$$

به دست می‌آید، همان‌طور که ملاحظه می‌شود $\mu_{v|t} = \mu_v + \Gamma + vt\Omega_t^{-1}(t - \mu_t)$ و $\Omega_{v|t} = \frac{1}{1+\frac{\eta}{n}} \left(1 + \frac{1}{\eta} (t - \mu_t)' \Omega^{-1} (t - \mu_t) \right) (\Omega_v - \Gamma_{vt}\Omega_t^{-1}\Gamma_{tv})$ توزیع تجمعی q -بعدی تی استیوندنت است. توزیع CST با نماد $CST_{n,q}(\mu, \Omega, \Gamma, \nu, \Delta, \eta)$ نشان داده می‌شود و چگالی آن به صورت

$$f(x) = [T_q(\mathbf{o}; \nu, \Delta + \Gamma\Omega\Gamma', \eta)]^{-1} T_q(\Gamma(x - \mu); \nu, \Delta, \eta + n) \tau(x, \mu, \Omega, \eta)$$

است، که در آن $\Delta = \Omega_{v|t}$, $\nu = -\mu_v$, $\Gamma = \Gamma_{vt}\Omega_t^{-1}$, $\Omega = \Omega_t$, $\mu = \mu_t$. برخی از ویژگی‌های مطلوب توزیع CST همانند توزیع CSN که مربوط به مسائل معکوس است را توسط آپرسن و امره (۱۰ ۲۰) بیان می‌کنیم:

۱. ترکیب خطی روی متغیرهای تصادفی توزیع CST , متغیرهای تصادفی با توزیع CST هستند. اگر (η, A) و $x \sim CST_{n,q}(\mu, \Omega, \Gamma, \nu, \Delta, \eta)$ باشد. آن‌گاه $(l \leq n)$

$$[y = Ax] \sim CST_{l,q}(\mu_y, \Omega_y, \Gamma_y, \nu_y, \Delta_y, \eta_y)$$

که در آن $\mu = A\mu$ و $\eta_y = \eta$, $\nu_y = \nu$, $\Gamma_y = \Gamma\Omega A'\Omega_y^{-1}$, $\Omega_y = A\Omega A'$, $\mu_y = A\mu$ و $\Delta_y = \Delta + \Gamma\Omega\Gamma' - \Gamma\Omega A'\Sigma_y^{-1}A\Omega\Gamma'$ بنابراین توزیع CST تحت تبدیلات خطی بسته است.

توجه شود کهتابع چگالی احتمال حاشیه‌ای نیز از خانواده توزیع CST خواهد بود. با انتخاب $A = b'_{(i)}$ که در آن $b'_{(i)} \times n$ بردار $1 \times n$ با عنصرهای صفر به جز عنصر i , به طوری $x_i = b'_{(i)}x$ است.

۲. مولفه‌های توزیع CST متغیرهای تصادفی نامستقل هستند. می‌دانیم که مولفه‌های توزیع تی متغیرهای تصادفی نامستقل هستند، از این رو ساخت یک متغیر تصادفی با توزیع CST که شامل اجزای مستقل باشد، امکان‌پذیر نیست.

۳. متغیرهای تصادفی شرطی مولفه‌های CST، به متغیرهای تصادفی CST منجر می‌شود. فرض کنید $x_2 \in R^{n-K}$ و $x_1 \in R^K$ که $x \sim CST_{n,q}(\mu, \Omega, \Gamma, \nu, \Delta, \eta)$ زیربردارهایی از $x = [x'_1, x'_2]'$ هستند، که پارامترها به صورت

$$\mu = \begin{bmatrix} \mu_1 \\ \mu_2 \end{bmatrix}, \quad \Sigma = \begin{bmatrix} \Omega_{11} & \Omega_{12} \\ \Omega_{21} & \Omega_{22} \end{bmatrix}, \quad \Gamma = [\Gamma_1, \Gamma_2].$$

تفکیک شده‌اند. بنابراین

$$[x_1 | x_2] \sim CST_{k,q}(\mu_{1|2}, \Omega_{1|2}, \Gamma_{1|2}, \nu_{1|2}, \Delta_{1|2}, \eta_{1|2}).$$

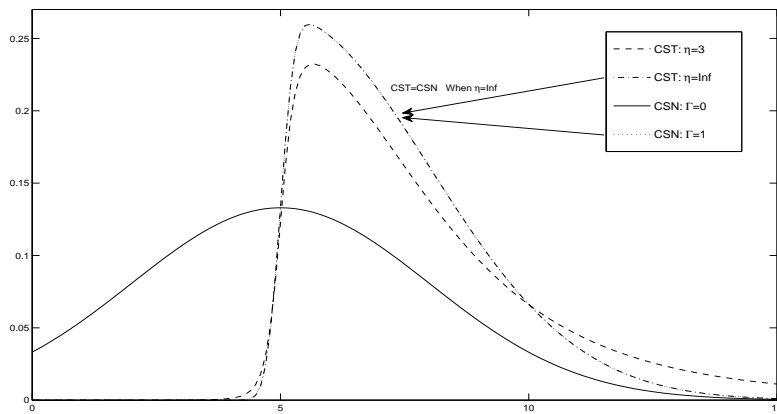
که در آن

$$\kappa(\eta) = \frac{1}{1 + \frac{n-k}{\eta}} \left(1 + \frac{1}{\eta} (x_2 - \mu_2)' \Omega_{11}^{-1} (x_2 - \mu_2) \right).$$

, $\Gamma_{1|2} = \Gamma_1$, $\Omega_{1|2} = \kappa(\eta)(\Omega_{11} - \Omega_{12}\Omega_{22}^{-1}\Omega_{21})$, $\mu_{1|2} = \mu_1 + \Omega_{12}\Omega_{22}^{-1}(x_2 - \mu_2)$, $\eta_{1|2} = \eta$, $\Delta_{1|2} = \kappa(\eta)\Delta$, $\nu_{1|2} = \nu - (\Gamma_2 + \Gamma_1\Omega_{12}\Omega_{22}^{-1})(x_2 - \mu_2)$. بنابراین تحت تبدیلات خطی و شرطی بسته است.

۱.۷ مقایسه توزیع CSN با توزیع CST

در شکل ۳ تابع چگالی احتمال توزیع CST برای درجه آزادی متفاوت و تابع چگالی احتمال CSN با پارامتر چولگی متفاوت، وقتی $\Sigma = 9$, $\mu = 5$, $\nu = 0$ و



شکل ۳: تابع چگالی احتمال توزیع CST با درجه آزادی متفاوت و تابع چگالی احتمال CSN با پارامتر چولگی متفاوت، با مقادیر پارامتر $\mu = 5, \Sigma = 9, \nu = 0, \Delta = 0/05$

$\Delta = 0/05$ نمایش می‌دهد. مشاهده می‌کنید که توزیع CST دنباله سنگین‌تری نسبت به توزیع CSN می‌سازد. برای $\eta = \infty$ چون هر نوع توزیع CSN را می‌توان با توزیع CST ساخت، پس توزیع CSN زیر رده‌ای از توزیع CST است. چون توزیع CST پارامتر η را نسبت به توزیع CSN بیشتر دارد، پس انعطاف‌پذیرتر است. اما برآورده پارامتر η مشکل است، یکی از مشکلات توزیع CST نسبت به توزیع CSN این است که نمی‌توان مولفه‌های نامستقل از توزیع را ساخت.

۸ معکوس CST بیزی

فرض کنید که $x \in R^{n_x}$ متغیر مورد بررسی و شامل مدل خطی $d = Hx$ است، که در آن $d \in R^{n_d}$ داده اندازه‌گیری شده است. توجه کنید که مولفه خطا، e وقتی $n_x < n_d$ نمی‌تواند وجود داشته باشد. از خواص CST می‌دانیم که تعیین بردارهای مستقل Hx و e امکان‌پذیر نیست. بنابراین امکان خطای مستقل از مدل نیست. مدل

پیشین برای x به صورت

$$x \sim CST_{n_x, q_x}(\mu_x, \Omega_x, \Gamma_x, \nu_x, \Delta_x, \eta).$$

تعریف می‌شود. فرض کنید که توزیع بردار t به صورت

$$\begin{bmatrix} t \\ r = Ht \\ v \end{bmatrix} \sim T_{n_x + n_d + q_x} \left(\begin{bmatrix} \mu_x \\ H\mu_x \\ -\nu_x \end{bmatrix}, \begin{bmatrix} \Omega_x & \Omega_x H' & \Omega_x \Gamma_x \\ H\Omega_x & H\Omega_x H' & H\Omega_x \Gamma_x' \\ \Gamma_x \Omega_x & \Gamma_x \Omega_x H' & \Delta_x + \Gamma_x \Omega_x \Gamma_x' \end{bmatrix}, \eta \right)$$

باشد که در آن $r \in R^{n_x}$ است و توزیع شرطی آن‌ها روی $t \in R^{n_x}, v \in R^{q_x}$ به صورت

$$\begin{bmatrix} t|r \\ v|r \end{bmatrix} \sim T_{n_x + q_x} \left(\begin{bmatrix} \mu_{t|r} \\ \mu_{v|r} \end{bmatrix}, \begin{bmatrix} \Omega_{t|r} & \Gamma_{tv|r} \\ \Gamma_{vt|r} & \Omega_{t|r} \end{bmatrix}, \eta + n_d \right)$$

به دست می‌آید، که در آن مقدار پارامترها توسط آیورسن و امره (۲۰۱۰) به صورت زیر ارائه شده است:

$$\begin{aligned} \mu_{t|r} &= \mu_x + \Omega_x H' (H\Omega_x H')^{-1} (r - H\mu_x) \\ \mu_{v|r} &= \nu_x + \Gamma_x \Omega_x H' (H\Omega_x H')^{-1} (r - H\mu_x) \\ \Omega_{t|r} &= \kappa(\eta + n_d) (\Omega_x - \Omega_x H' (H\Omega_x H')^{-1} H\Omega_x) \\ \Omega_{v|r} &= \kappa(\eta + n_d) (\Delta_x + \Gamma_x \Omega_x \Gamma_x' - \Gamma_x \Omega_x H (H\Omega_x H')^{-1} (\Gamma_x \Omega_x H')') \\ \Gamma_{v|r} &= \kappa(\eta + n_d) (\Gamma_x \Omega_x - \Gamma_x \Omega_x H' (H\Omega_x H')^{-1}). \end{aligned}$$

بنابراین از تعریف توزیع CST و قرار دادن $x = [t|v \geq 0], d = [r|v \geq 0]$ داریم:

$$[x|d] = [t|r, v \geq 0] \sim CST_{n_x, q_x}(\mu_{x|d}, \Omega_{x|d}, \Gamma_{x|d}, \nu_{x|d}, \Delta_{x|d}, \eta + n_d + q_x).$$

که در آن

$$\begin{aligned} \mu_{x|d} &= \mu_x + \Omega_x H' (H\Omega_x H')^{-1} (r - H\mu_x) \\ \Omega_{x|d} &= \kappa(\eta + n_d + q_x) (\Omega_x - \Omega_x H' (H\Omega_x H')^{-1} H\Omega_x) \\ \Gamma_{x|d} &= \kappa(\eta + n_d + q_x) (\Gamma_x \Omega_x - \Gamma_x \Omega_x H' (H\Omega_x H')^{-1}) \Omega_{x|d}^{-1} \\ \nu_{x|d} &= \nu_x - \Gamma_x \Omega_x H' (H\Omega_x H')^{-1} (r - H\mu_x) \\ \Delta_{x|d} &= \kappa(\eta + n_d + q_x) (\Delta_x + \Gamma_x \Omega_x \Gamma_x' - \Gamma_x \Omega_x H (H\Omega_x H')^{-1}) (\Gamma_x \Omega_x H')' \\ &\quad - \Gamma_{x|d} \Omega_x |d \Omega_{x|d}'|. \end{aligned}$$

وقتی $\eta \rightarrow \infty$ میل می‌کند، می‌توان نشان داد $1 \rightarrow (\eta)$. بنابراین پارامترهای مدل CST با پارامترهای مدل CSG یکسان می‌شوند. تنها یک پارامتر برای درجه آزادی وجود دارد، به خاطر این که درجات آزادی مختلف برای حاشیه‌های مختلف امکان‌پذیر نمی‌باشد.

۹ شبیه‌سازی از توزیع CST

الگوریتم ۱ شبیه‌سازی دوگامی از توزیع CST

۱. تا زمانی که $v \geq 0$ برقرار شود، تکرار کنید

$$v \sim T_q(-\nu, \Delta + \Gamma\Omega\Gamma) \quad .2$$

$x \leftarrow t|v \sim T_n(\mu + \Gamma_{tv}\Omega_v^{-1}(t + \nu), \Omega_t - \Gamma_{tv}\Omega_v^{-1}\Gamma'_{tv})$.
مدت زمان اجرای الگوریتم دوگامی برای دو توزیع CSN و توزیع CST با پارامترهای $\Sigma = ۹, \mu = ۵, \Delta = ۰/۰۵$ با درجه آزادی و راهای مختلف در جدول ۲ خلاصه شده‌اند.
همان‌طور که در جدول ۲ ملاحظه می‌شود، برای درجه آزادی‌های مختلف با v زمان

جدول ۲: مدت زمان اجرای الگوریتم‌های دوگامی بر حسب ثانیه

CST	CSN	η	ν
۰/۰۹۰	۰/۰۵	۱	۰
۰/۰۹۳	۰/۰۶۹	۳	۰
۰/۰۹۰	۰/۰۴۰	۱۰۶	۰
۰/۲۹۷	۰/۲۷۸	۱	۵
۰/۱۰۶	۲۳/۲۲۲	۱	۱۰
۰/۰۸۹	۲۲۷/۶۲۰	۱	۱۲
۰/۰۷۷	۱۵۲۲/۶۲۶	۱	۱۳
۰/۰۹۳	۰/۲۸۲	۳	۵
۰/۰۹۴	۲۵/۱۵۳	۳	۱۰
۰/۱۰۵	۲۴۷/۶۱۳	۳	۱۲
۰/۰۹۸	۱۵۵۶/۴۹۱	۳	۱۳
۰/۱۰۵	۰/۲۷۸	۱۰۶	۵
۰/۰۹۹	۲۴/۳۴۸	۱۰۶	۱۰
۰/۱۲۵	۳۲۶/۳۱۳	۱۰۶	۱۲
۰/۱۱۸	۱۵۴۷/۱۹۴	۱۰۶	۱۳

اجرای الگوریتم دوگامی توزیع CST ثابت است، اما ماکسیمم تغییر زمان اجرای الگوریتم دوگامی توزیع CSN حدود $۰/۰۳$ است. برای $\eta = ۱$ زمان اجرای الگوریتم دوگامی توزیع با افزایش مقدار v کاهش می‌یابد، در حالی که ماکسیمم تغییر زمان اجرای الگوریتم

دوگامی توزیع CSN حدود ۱۵۳۳ است. برای راهای مختلف ماکسیمم زمان تغییر اجرای الگوریتم دوگامی توزیع CSN با $\eta = \infty$, $\eta = ۳$, $\eta = ۰/۵$ به ترتیب ۰/۰۱, ۰/۰۵ ثانیه است، در حالی که برای الگوریتم دوگامی توزیع CSN به ترتیب حدود ۱۵۴۷, ۱۵۵۶ ثانیه است.

۱۰ بحث و نتیجه گیری

در این مقاله ساختار توزیع چوله نرمال بسته و کاربردهای آن بیان گردید و با توجه به مشکلاتی که در تولید نمونه برای محاسبه کمیت‌های مورد نیاز در این توزیع وجود داشت، مخصوصاً زمانی که پارامتر γ مقدار مثبت بزرگ می‌گیرد. سه الگوریتم شبهه سازی بیان و بهترین الگوریتم که براساس یک روش تکراری و الگوریتم رد و پذیرش است، مورد مطالعه قرار گرفت. که از نظر زمان محاسباتی از سرعت بالایی برخوردار است. الگوریتم تکراری روی مدل معکوس CSG بیزی اجرا و نتایج مطلوبی از نظر زمان محاسبات حاصل گردید و دیگر نیاز به روش‌های تقریبی برای محاسبه میانه در بعدهای نسبتاً بالا در این مدل نیست. اما با افزایش بعد مشاهده شده است که زمان اجرا سریع‌تر ازتابع خطی‌ای از بعد زیاد می‌شود. برای اجتناب از مشکلات برای بعدهای خیلی بزرگ، جاید از تقریب برای معکوس Σ استفاده کنیم. همچنین ساختار و خواص توزیع CST بیان و نحوه مدل‌بندی برای داده‌های سایسمیک مورد مطالعه قرار گرفت. با توجه به مزیت این توزیع نسبت به توزیع CSN (وجود دم‌های کلفت‌تر)، یکی از مشکلات اصلی عدم وجود یک ساختار مستقل برای مولفه‌های این توزیع است.

تقدیر و تشکر

نویسنده‌گان از پیشنهادهای ارزنده داوران محترم کمال تشکر را دارند.

مراجع

غلامی فشارکی، م.، کاظم‌نژاد، ا. و زایری، ف. (۱۳۹۱)، برآورد بیزی پارامترهای توزیع چوله نرمال، مجله علوم آماری، ۶، ۹۸-۸۳.

Allard, D. and Naveau P. (2005), Modeling Skewness in Spatial Data Analysis without Data Transformation, *Quantitative Geology and Geostatistics*, 14,

۶۵ معصومه بخشی شجاعی، امید کریمی

929-937.

Azzalini, A. and Dalla Valle, A. (1996), The Multivariate Skew-Normal Distribution, *Biometrika*, **83**, 715-726.

Buland, A. and Omre, H. (2003), Bayesian Linearized AVO Inversion, *Geophysics*, **68**, 185-198.

Dominguez-Molina, J., Gonzalez-Farias, G., Dominguez-Molina, J. and Gupta, A. (2003), The Multivariate Closed Skew-Normal Distribution, *Technical Report 03-12*, Department of Mathematics and Statistics, Bowling Green State University.

Iversen, H. and Omre, H. (2010), *Close-Skew Distributions*, Norwegian University of Science and Technology.

Karimi, O. and Mohammadzadeh, M. (2011), Bayesian Spatial Prediction for Discrete Closed Skew Gaussian Random Field, *Mathematical Geosciences*, **43**, 565-582.

Karimi, O. and Mohammadzadeh, M. (2012), Bayesian Spatial Regresion Models with CSN Correlated Errors and Missing Observations, *Statistical Papers*, **53**, 205-218.

Karimi, O., Omre, H. and Mohammadzadeh, M. (2010), Bayesian Closed-Skew Gaussian Inversion of Seismic AVO Data into Elastic Material Properties, *Geophysics*, **75**, R1-R11.

Robert, C. (1995), Simulation of Truncated Normal Variables, *Statistics and Computing*, **5**, 121-125.